

O_2/CF_4 プラズマによる ダイヤモンドエッチングとプラズマパラメータ

三栖 貴行¹・後藤 みき²・荒井 俊彦²

¹博士前期課程電気電子工学専攻（現在 市光工業（株））

²電気電子工学科

Etching of Diamond and Plasma Parameters in O_2/CF_4 Plasma

Takayuki MISU¹, Miki GOTO² and Toshihiko ARAI²

Abstract

Diamond films were etched using a reactive ion etching system in O_2/CF_4 plasma with narrow electrode gap. The maximum etching rate was obtained with the addition of 20% CF_4 in O_2 under conditions that the RF power was 100W, the gas pressure 20Pa and the total flow rate 20sccm. Langmuir probe and actinometry technique were used to determine the plasma parameter. The electron temperature and O density had a peak around $O_2/20\%CF_4$.

Keywords: reactive ion etching, diamond, anisotropic etching, O_2/CF_4 plasma

1. まえがき

ダイヤモンドは半導体デバイス、電子エミッタなどの様々な分野への応用が期待されており、その微細加工技術への要求が高まっている。プラズマエッチングの工程において化学反応的効果と物理的効果を結合させた反応性イオンエッチング(RIE) プラズマはイオンビームエッチングに比べて高効率で、大面積におけるパターン形成に適していることから、もっとも有力な手段の一つである。ダイヤモンドエッチングに対しても O_2 を用いた RIE プラズマが広く利用されている^{1, 2)}。そのエッチング速度は $1 \mu m/h$ 程度である。最近、 O_2 に CF_4 を添加して、RF 電力 300W で $1.4 \mu m/h$ という高いエッチング速度が得られている³⁾。しかし CF_4 添加でエッチングが増速する機構はまだ充分に理解されていない。RIE 装置において平行平板電極間隔を狭くすることで高密度のプラズマが得られることが知られており、狭電極 RIE では

SiO_2 のエッチング速度を $1 \mu m/h$ と通常の RIE 装置の数倍にすることができる⁴⁾。

本研究では、プラズマ源に高密度プラズマが得られる狭電極平行平板型 RIE プラズマを用いた O_2/CF_4 プラズマによる多結晶ダイヤモンド薄膜のエッチングを行った⁵⁾。また、エッチング速度とラジカル密度との関係の情報を得るためにプラズマ中の電子温度などを測定した。その結果からダイヤモンドのエッチング速度向上の機構を検討した。

2. 実験装置及び測定方法

図1に13.56MHzの高周波(RF)を用いた平行平板型RIE装置の概略図を示す。RIE装置には被エッチング基板をカソード上に置くカソードカップル型を使用した。ステンレス製チャンバーの寸法は直径16cm、高さ25cm、陽極、陰極の寸法はそれぞれ直径70mmである。陰極上には直径57mmのサンプ

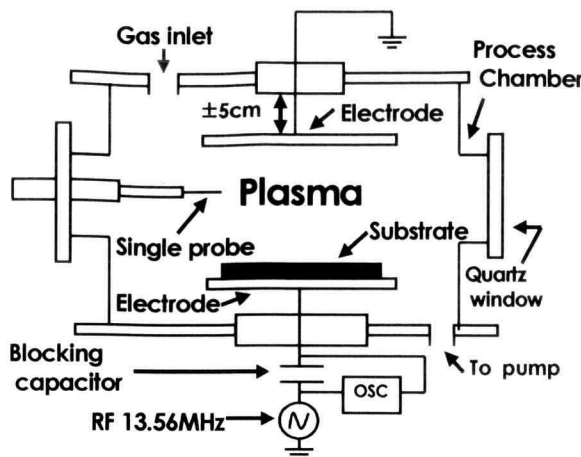


Fig.1 Schematic diagram of the plasma chamber.

ルホルダーを設けてある。電極間隔は0.5cmから5.5cmまで変化させることができる。プロセスチャンバー内の基礎真空はターボ分子ポンプを用いて 4×10^{-4} Pa以下であった。 O_2 、 CF_4 、Arの各ガスはマスフローコントローラを用いて一定に制御した。 O_2/CF_4 混合ガスの全圧は20Paとし、全流量は20sccmに一定とし、高周波(RF)電力は100Wとした。エッティングに用いた試料はSi基板(5×5mm)上の平坦化された多結晶CVDダイヤモンド薄膜(膜厚10~20μm)を用い、室温でエッティングを行った。エッティング速度を測定するためにダイヤモンド膜にAl(膜厚0.3μm)を蒸着し、それをマスクとした。エッティング速度はエッティング時間とエッティング前後におけるダイヤモンド薄膜の厚さの差から算出した。膜厚は触針法(KAL Tencor AS500)で測定した。

エッティング処理後のダイヤモンド基板の表面形状の観察には走査型電子顕微鏡(SEM)を用いた。プラズマ中の電子温度はシングルプローブシステム(Hiden)を用いて測定した。プローブは円筒タンゲステン線(長さ10mm、直径0.15mm)を用いた。 O_2 ラジカル密度はアクチノメトリ法⁶⁾を用い、プラズマ中に3%のArガスを添加して0(844.6nm)、F(685.6nm)、Ar(750.4nm)の発光強度をマルチチャンネル検出器で測定し、それらの発光強度比から求めた。

3. 実験結果と考察

3.1 ダイヤモンド薄膜のエッティング特性

図2は全ガス圧20Pa、全流量20sccm、RF電力100Wのとき $O_2/20\%CF_4$ プラズマでのダイヤ

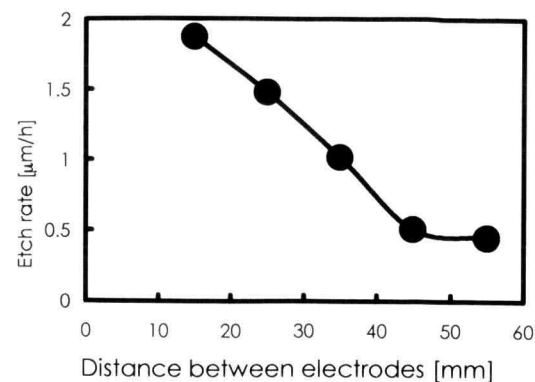


Fig.2 Etching rate as a function of the distance between electrodes. The total flow rate, total pressure and RF power are 20sccm, 20Pa and 100W, respectively.

モンドのエッティング速度と電極間距離との関係を示す。エッティング速度は電極間距離(15mm~55mm)の増加とともに減少した。

図3は電極間距離15mm、 CF_4 ガス圧20Pa、全流量20sccm、RF電力100WのときAlをマスクとしたダイヤモンドとAlのエッティング速度の CF_4 濃度依存性を示す。 CF_4 濃度20%で、ダイヤモンドのエッティング速度は最大($1.9 \mu m/h$)となり、その後、ゆっくり減少した。Alのエッティング速度は CF_4 濃度の増加とともにわずかに増加した。

図4は図3と同じ条件で得られたダイヤモンドとAlのエッティング速度(選択比)を示す。 CF_4 20%で高い選択比28を得た。これはAlのエッティング

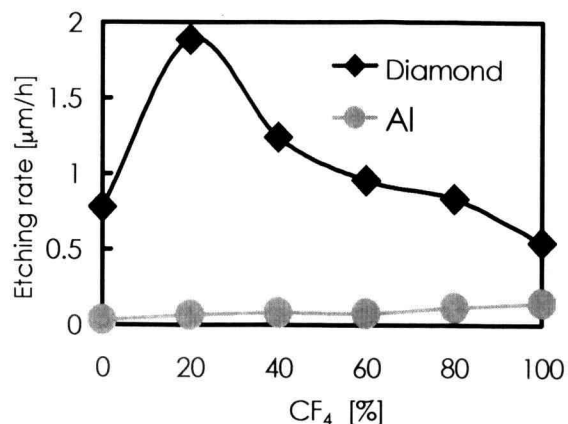


Fig.3. Etching rate as a function of the CF_4 concentration in O_2/CF_4 plasma. The electrode distance, total flow rate, total pressure and RF power are 15mm, 20sccm, 20Pa and 100W, respectively.

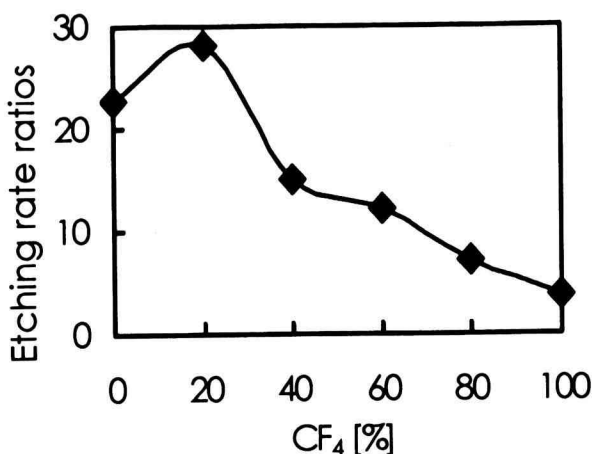


Fig.4 Etching rate ratios as a function of CF₄ concentration under the same condition as in Fig.3.

がイオン衝撃による物理的なエッチングだけで進行するのに対し、ダイヤモンドのエッチングは物理的効果と化学的効果で進行するためであると考えられる。

図5はO₂ プラズマと O₂/20%CF₄ プラズマでエッチング処理後のダイヤモンド表面のSEM写真を示す。O₂/20%CF₄ プラズマでのダイヤモンド表面と側壁の形状はO₂ プラズマのものと比べて垂直形状のパターンが形成され、かつ平滑なエッチング面であった。CF₄ の添加を増加すると、Al マスクのエッチングは増加するが、ダイヤモンド表面はさらに平滑になっていくことがわかった。

3.2 自己バイアス電圧と電子温度

RIEではRFを加える電極には直流の負電圧（自己バイアス電圧）が発生する。この自己バイアス電圧を利用して正イオンを加速し、基板上にラジカル原子、分子と高速イオンを同時に供給し、エッチングを行う。自己バイアス電圧はカソード電極とブロッキングコンデンサ間で高圧プローブ

(100:1)とデジタルオシロスコープを用いて測定した。図6は図3と同じ放電条件のとき自己バイアス電圧とCF₄濃度との関係である。自己バイアス電圧はO₂単ガスで-320Vとなり、CF₄添加とともに減少し、CF₄50%付近で最小(-220V)となり、CF₄単ガスで-280Vとなった。O₂/CF₄の全ガス圧を高くすると自己バイアス電圧は減少した。

プラズマ中の電子はエッチングに関与するイオンやラジカルを生成することから電子温度や、電子密度の情報が必要である。図7は電子温度と

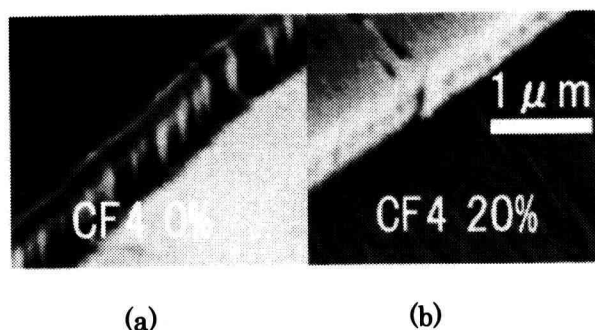


Fig.5. SEM micrographs of diamond etched in (a) pure O₂ and (b) O₂/20%CF₄ plasma

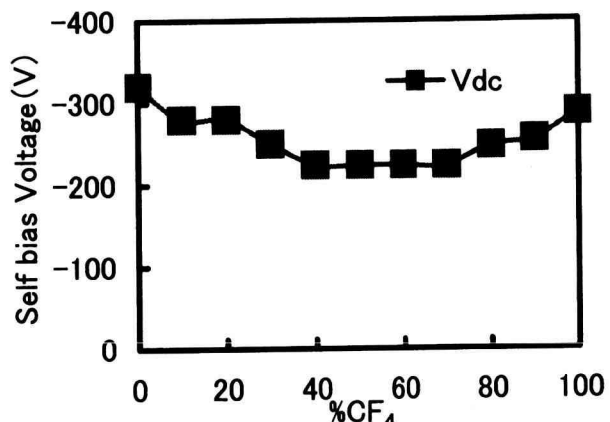


Fig.6. Self bias voltage as a function of CF₄ concentration under the same condition as in Fig.3.

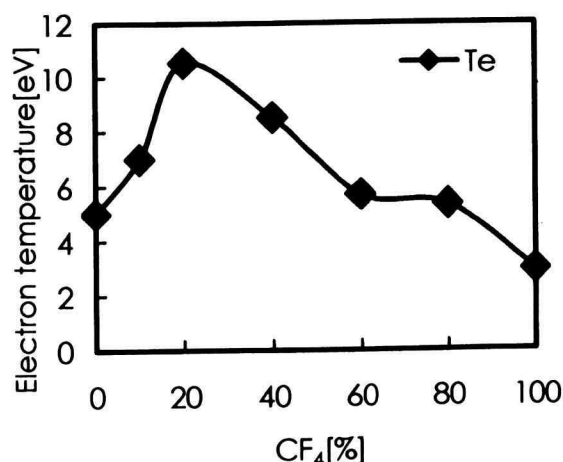


Fig.7. Electron temperature as a function of CF₄ concentration under the same condition as in Fig.3.

CF_4 濃度との関係である。 O_2/CF_4 プラズマではタンゲステン線のプローブ表面に薄膜が堆積され、プローブ特性に影響を与える。これを避けるため短時間(5分以内)でプローブ特性を測定し、測定のたびにタンゲステン線チップを交換した。電子温度は O_2 単ガス(5eV)に比べ、 CF_4 を添加することにより増加し、 CF_4 20%付近で最大(10.5eV)となり、それ以上の添加で減少した。エッティング速度が最大となる CF_4 濃度と一致している。

3.3 プラズマ中のラジカル密度

図8は図3と同じ条件でアクチノメトリ法で測定された O , F ラジカル密度と CF_4 濃度との関係を示す。 O ラジカル密度は CF_4 20%で最大となり、その後 CF_4 添加とともに減少した。この O ラジカル密度変化はLIFで測定した結果⁷⁾とほぼ一致している。 F ラジカル密度は CF_4 80%付近で最大を示す。 CF_4 添加による O ラジカルの増加はプラズマ中の高いエネルギーをもつ電子が増加し、電子衝突解離の割合が増加するためとみられる。

3.4 CF_4 添加によるエッティング増速の検討

O_2 単ガスに CF_4 20%添加でダイヤモンドのエッティング速度が最大となった。単独ガスでのエッティング速度は O_2 ガス> CF_4 ガス>Arガスの順となった。不活性ガスのArプラズマでは物理的なスパッタエッティングだけである。イオン質量 $\text{Ar}^+ > \text{O}_2^+$ であるのにエッティング速度は O_2 ガス>Arガスである。 O_2 , CF_4 では物理的なスパッタエッティングと化学的なドライエッティングの相乗効果によってエッティングが進行するとみられる。このためエッティング速度はArのものより O_2 で約4倍、 CF_4 で約3倍増加した。 O_2 単ガスでは 0 , 0^+ , O_2^+ のイオン衝撃に加えて表面に吸着した O ラジカルは CO , CO_2 として原子を引き連れて脱離し、エッティングされる。 CF_4 20%添加においては、 CF_x^+ イオン衝撃も加わり、さらに O および F ラジカルの増加によりエッティングが促進されたとみられる。

4.まとめ

以上、狭電極(電極間隔1.5cm)RIEを用いた O_2/CF_4 プラズマによるダイヤモンドのエッティング特性について調べた結果をまとめると以下のようになる。

- 1) O_2 単ガスに比べ、 CF_4 20%添加し、圧力20Paとしたときエッティング速度は約2.5倍増加し、表面は平坦性でかつ、側壁は垂直に加工でき

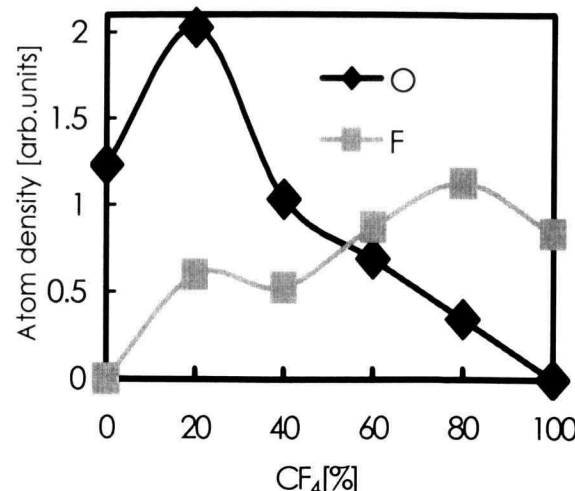


Fig.8. O and F atom densities as a function of CF_4 concentration under the same condition as in Fig.3.

ることがわかった。

- 2) $\text{O}_2/20\%\text{CF}_4$ プラズマ中の電子温度と O ラジカル密度は O_2 単ガスプラズマのものより約2倍増加した。
- 3) CF_4 添加によるエッティング速度の向上はイオン加速電圧がほとんど変化しないことから、おもに O ラジカルの発生量の増加によると考えられる。

終わりに実験に従事した当研究室の平成13、14年度卒業研究生の諸君に対し感謝の意を表する。

参考文献

- 1) A.Joshi and R.Nimmagadda: J.Mater.Res. **6**(1991) 1484.
- 2) O.Dorsch, M.Werner, E.Obermeier, R.E.Harper, C.Johnson and I.M.Bickley-Golder: Diamond and Related Materials **1** (1992) 277.
- 3) H.Shiomi: Jpn. J.Appl.Phys. **36** (1997) 7745.
- 4) K.Ono, T.Oomori, M.Tuda and M.Hanazaki : Proc. SPP-7, Tokyo, (1990) 217.
- 5) T. Misu, H.Takemura, M.Goto and T.Arai: Proc. 25th ICPIG, Nagoya **1**(2001) 143.
- 6) J.W.Coburn and M.Chen.: J.Appl.Phys. **51** (1980) 3134.
- 7) R.E.Walkup, K.L.Saenger and G.S.Selwyn: J.Chem. Phys. **84**(1986)2668.